

石橋重工(株) 正員 ○ 名取悦朗
 東大大学院 学生員 倉方慶夫
 東大工学部 正員 西野文雄

1. まえがき 構造物に用いられている柱やりなど単一材では、曲げせん断やそり拘束ねじりモーメントによるせん断変形は小さいとして無視し、サンブナンのねじりによるもののみが考慮されている。サンブナンのねじりによるせん断ひずみの考慮した変位場に基礎を置くと、箱桁のような閉断面部材では応力などにおいて不合理の生ずることがある。このため何らかの方法で、曲げせん断やそり拘束ねじりによるせん断変形を考慮した研究が行なわれている。これらの中でも変位場に基礎を置き仮想仕事の原理からつり合い方程式を導いているものに Vlasov¹⁾ や Kollbrunner²⁾ の研究があるが、これらは変位を仮定することから出発しているので、ひずみを含めた変位場に対する物理的背景が必ずしも明らかにされていない。ここではひずみに対する吟味に重点を置き、そりひずみから求めた変位場について比較検討する。基本的な仮定は (1) 板厚は変化しない。板厚中心線は伸び縮みしない。断面内において板厚中心線に垂直な要素は、変形後も板厚中心線に対して垂直である。(2) 部材の軸に平行な面内にせん断応力が存在するとされ、この応力によるせん断ひずみを、曲げせん断を受ける場合の Timoshenko-Beam で考えられておりせん断ひずみに対する仮定を拡張した形で考慮する。の2つである。

2. ひずみと変位の関係

右手系の (S, n, z) 座標で表わした微少変位理論によるひずみと変位の関係は次のように書かれる。

$$\epsilon_s = \frac{\partial \zeta}{\partial S}, \quad \epsilon_n = \frac{\partial \zeta}{\partial n}, \quad \epsilon_z = \frac{\partial \zeta}{\partial z}, \quad \gamma_{sn} = \frac{\partial \zeta}{\partial S} + \frac{\partial \eta}{\partial n}, \quad \gamma_{sz} = \frac{\partial \zeta}{\partial n} + \frac{\partial \eta}{\partial z}, \quad \gamma_{sz} = \frac{\partial \zeta}{\partial z} + \frac{\partial \eta}{\partial S} \quad (1a-f)$$

ここで ζ, η, ω はそれぞれ S, n, z 方向への変位である。

仮定 (1) を数式で表わすとひずみに関して

$$\epsilon_n = 0, \quad (\epsilon_s)_{n=0} = 0, \quad \gamma_{sn} = 0 \quad (2a-c)$$

と書くことができる。式 (1) を式 (2) に代入して積分することにより、変位 ζ と η と (S, n, z) 座標の関数関係が次のように求まる。

$$\eta = \eta(S, z), \quad \zeta = -n \frac{\partial \eta}{\partial S} + \zeta_0(S, z), \quad \frac{\partial \zeta_0}{\partial S} = 0 \quad (3a-c)$$

断面の変位を因心の x, y 方向への変位 u_S, v_S 剛体回転角 ϕ および図 2 に示す角変位 ψ で表わされた断面変形量で表わすと、これらの変位 ζ, η の間に次の関係がある。

$$\zeta = l u_S + m v_S + \zeta_0 \phi + \{ \zeta_{s1} - 2n(l^2 - m^2) - n \alpha \} \psi \quad (4a, b)$$

$$\eta = -m u_S + l v_S + \zeta_{n1} \phi + (\zeta_{n1} + \alpha) \psi$$

l, m は方向余弦であり $l = \cos(S, x), m = \cos(S, y)$ (5)

$$\zeta_{s1} = x m - y l, \quad \zeta_{n1} = x m + y l, \quad \zeta_{n1} = x l + y m, \quad \zeta_{n1} = x l - y m \quad (6)$$

α は S のサの間数で、長方形断面を構成する板の厚みが再線間に変化しないときには次のように表わされる。式 (4) の \cdot は S に関する微分を表わす。

$$\alpha(S) = \begin{cases} \frac{J_2}{k(bJ_1 + kJ_2)} (S_1^3 - k^2 S_1) \\ \frac{J_1}{b(bJ_1 + kJ_2)} \{(b-S_2)^3 - b^2(b-S_2)\} \end{cases} \quad (7)$$

$$J_1 = t_1^3/12, \quad J_2 = t_2^3/12 \quad (8a, b)$$

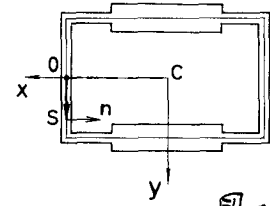


図-1

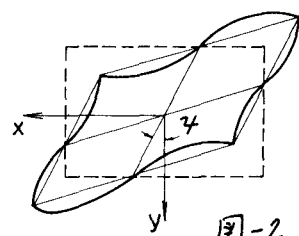


図-2

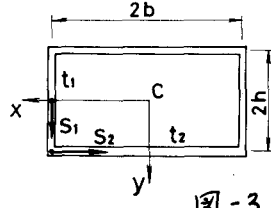


図-3

x, y 方向への変位 u, v と変位 ψ, θ の間に $u = l\psi - m\theta, v = m\psi + l\theta$ の関係があるとして

$$u = U_S - y\varphi + x\psi - (m\alpha + ln\alpha + 2ln) \psi \\ v = V_S + x\varphi + x\psi + (l\alpha - m\alpha \alpha + 2m\alpha) \psi \quad (9a, b)$$

曲げとねじりモーメントを受ける薄肉棒部材の理論では、オイラー・ベルヌーイの仮定は S 面、 n 面内のせん断ひずみ γ_{Sz}, γ_{nz} を用いて次のように表わされる³⁾

$$\gamma_{Sz} = \theta_A/(Gt), \gamma_{nz} = 0 \quad (10a, b)$$

ここに $\theta_A = (\gamma_{Sz} t)_{S=S_A}$ であり、 S_A は開断面に沿って任意に選んだ点の S 座標である。式(10)では曲げせん断、とり拘束ねじり、断面変形などにともなうせん断応力によるせん断ひずみは考慮されていない。これらによるせん断変形を考えるヒ一般的には変位量が変化する。微小区間 Δz 離れた 2 つの断面の任意の 1 点に注目する。せん断変形量を定義するたり、考えている点は便宜的に z 軸に垂直に変位するものとする。このとき Δz だけ離れた 2 点に生ずる相対変位は $(w^s)' = 0, (u^s)', (v^s)', (\varphi^s)', (\psi^s)'$ と表わされる。ここに上肩つきの S は変位成分 u, v, φ, ψ 、せん断変形のみによる量を表わし、プライムは z に関する微分を示している。 S 面、 n 面に生ずるせん断ひずみはこの相対変位ヒ式(10)から次のように表わされる。

$$\gamma_{Sz} = \theta_A/(Gt) + l(u^s)' + m(v^s)' + f_s(\varphi^s)' + f_{s1}(\psi^s)' \\ \gamma_{nz} = -m(u^s)' + l(v^s)' + f_n(\varphi^s)' + (f_{n1} + \alpha)(\psi^s)' \quad (11a, b)$$

一般には $u^s, v^s, \varphi^s, \psi^s$ は S, n, z の関数であり、その値は断面内の位置によく変化する。平面保持の仮定のもとでせん断変形を考えた Timoshenko-Beam の理論では $(u^s)', (v^s)'$ を z のみの関数とし、断面内では変化しないと仮定している。ここではこの平面保持の仮定を拡張し、せん断変形にともなうねじり変位 ψ^s 、断面変形にともなう変位 v^s も z のみの関数であると仮定する。これがひずみ場に対する 2 番目の仮定であり、せん断ひずみに関連した量であるので z の文字を用いて式(11)に代入する。

$$(u^s)' = f_{xc}(z), (v^s)' = f_{yc}(z), (\varphi^s)' = f_{pc}(z), (\psi^s)' = f_{pc}(z) \quad (12a-d)$$

$$\gamma_{Sz} = \theta_A/(Gt) + l f_{xc} + m f_{yc} + f_s f_{pc} + f_{s1} f_{pc} \\ \gamma_{nz} = -m f_{xc} + l f_{yc} + f_n f_{pc} + (f_{n1} + \alpha) f_{pc} \quad (13a, b)$$

式(1f)に式(4a)ヒ式(13a)を代入し積分すると、 $\alpha = 0$ である中心線上の変位 w が次のように表わされる。

$$w^* = C(z) - (x - x_0)(U_S' - f_{xc}) - (y - y_0)(V_S' - f_{yc}) - (g - f_{pc}) \int_0^z (f_s - \theta_A/Gt) dz - (v - f_{pc}) \int_0^z f_{s1} dz \quad (14)$$

ここに $C(z)$ は積分定数であり、 x_0, y_0 は任意に選んだ S 座標の原点 O の x, y 座標である。未知のせん断流 f_A は変位 w の閉区間での連続条件 $w(s) = w(s + \delta s)$ から決まり $f_A = g(f_{pc} - f_{pc}) \int_0^s f_{s1} ds / \delta s$ (15)

式(1e)に式(13b)ヒ式(4b)を代入し積分すると

$$w = w^* + n \{ m(U_S' - f_{xc}) - l(V_S' - f_{yc}) - f_n(\varphi' - f_{pc}) - (f_{n1} + \alpha)(\psi' - f_{pc}) \} \quad (16)$$

ここに w^* は積分定数であり、 $(s, n=0, z)$ の変位を表わす。式(16)に式(14)ヒ式(15)を代入すると

$$w = C(z) - (x - x_0)(U_S' - f_{xc}) - (y - y_0)(V_S' - f_{yc}) - (\Omega + f_{n1} n)(\varphi' - f_{pc}) - \{\Omega_1 + (f_{n1} + \alpha)n\}(\psi' - f_{pc}) \quad (17)$$

ここで $\Omega = \int_0^z \{ f_s - f_{s1} ds / (f_{pc} \delta s) \} ds, \Omega_1 = \int_0^z f_{s1} ds$ (18a, b)

x, y 座標の原点 C を長方形断面の図心に選んでいたので、薄肉断面上にない点 C の変位は式(17)では表わすことができない。ここでは便宜上、式(17)の積分定数 $C(z)$ を原点 C の変位用いて表わすために、原点 C ヒ S 座標 z の間に仮想の板厚 ($t=0$) の薄板で結ぶ。この結果原点 C の z 軸す方向の変位が定義できようになる。仮想板に沿って定義される原点 C の S 座標を S_C と表わし $\Omega_C = \int_0^{S_C} f_s ds, \int_0^{S_C} f_{s1} ds = -x_0 y_0$ (19a, b) となることに注意すれば、積分定数 $C(z)$ は原点 C の z 方向変位 W_C を用いて次のように表わされる。

$$C(z) = W_C - x_0(U_S' - f_{xc}) - y_0(V_S' - f_{yc}) + \Omega_C(\varphi' - f_{pc}) - x_0 y_0(\psi' - f_{pc}) \quad (20)$$

式(20)を式(17)に代入すると、式(13)で表わされるひずみ場の仮定を満たす z 方向変位 w として次式を得る。

$$w = W_C - x\lambda - y\mu - w_0\vartheta - w_1 K \quad (21)$$

$$\begin{aligned} \text{---: } & \lambda = u'_s - k_{xc}, \quad \mu = v'_s - k_{yc}, \quad \vartheta = \varphi' - k_{pc}, \quad K = \psi' - k_{pc} \\ & \omega = \Omega + \int_n n - \Omega_c, \quad \omega_1 = \Omega_1 + (\int_n + \alpha) n + x_0 y_0 \end{aligned} \quad (22a-f)$$

式(4)と式(21)を式(1)に代入する。ひずみの6成分のうち ϵ_n と ϵ_{sn} は式(2a,c)により零である。

$$\epsilon_s = -n \dot{\alpha} \psi$$

$$\epsilon_z = w'_c - x \lambda' - y \mu' - \omega \vartheta' - \omega_1 K'$$

$$r_{xz} = -m(u'_s - \lambda) + l(v'_s - \mu) + \int_n(\varphi' - \vartheta) + \int_n(\psi' - K)$$

$$\begin{aligned} r_{sz} &= l(u'_s - \lambda) + m(v'_s - \mu) + (\int_s - \textcircled{A})\chi(\varphi' - \vartheta) + \textcircled{B}\varphi' \\ &\quad + \int_{s1}(\psi' - K) + \textcircled{C}_1 K - n \dot{\alpha}(\psi' + K) \end{aligned} \quad (23a-d)$$

$$\text{---: } \textcircled{A} = \frac{1}{\pi} \int_{\int_n}^{\int_s} ds - 2n, \quad \textcircled{B}_1 = 2n(m^2 - l^2) \quad (24a,b)$$

3. つり合い方程式

部材に分布して作用する外力(体積力)と両端に作用する表面力を受けて、空間でつり合つてゐる直線材を考えると、仮想仕事の原理は次式で表わされう。

$$\begin{aligned} & \int_{z_1}^{z_2} \int_A [\bar{\epsilon}_s \delta \epsilon_s + \bar{\epsilon}_z \delta \epsilon_z + \bar{\epsilon}_{xz} \delta r_{xz} + \bar{\epsilon}_{sz} \delta r_{sz}] dA dz \\ &= \int_{z_1}^{z_2} \int_A [\bar{q}_{xd} \delta u + \bar{q}_{yd} \delta v + \bar{q}_{zd} \delta w] dA dz + [(\bar{\epsilon}_z \delta w + \bar{\epsilon}_{sz} \delta \psi + \bar{\epsilon}_{xz} \delta \eta) dA]_{z_1}^{z_2} \end{aligned} \quad (25)$$

---: \bar{q}_{xd} , \bar{q}_{yd} および \bar{q}_{zd} はそれぞれ x , y , z 方向に単位体積当たりに作用する分布外力であり、 $\bar{\epsilon}_z$, $\bar{\epsilon}_{sz}$, $\bar{\epsilon}_{xz}$ は両端断面での z , s , n 方向への表面力である。式(25)に式(4)(9)(21)および(23)を代入し部分積分することにより、次のつり合い方程式が求まる。

$$\begin{aligned} N' + q_z &= 0, \quad -M'_x + V_z - m_x = 0, \quad V'_x + q_x = 0, \quad -M'_y + V_y - m_y = 0 \\ V'_y + q_y &= 0, \quad -M'_y + T_w - m_y = 0, \quad T' + m_x = 0, \quad -M'_y + T_0 + T_2 - m_y = 0 \\ T'_Q + M_0 - T'_2 + m_a &= 0 \end{aligned} \quad (26a-i)$$

---:

$$\begin{aligned} N &= \int_A \bar{\epsilon}_z dA, \quad M_x = \int_A \bar{\epsilon}_z \cdot x dA, \quad M_y = \int_A \bar{\epsilon}_z \cdot y dA, \quad M_\vartheta = \int_A \bar{\epsilon}_z \cdot \omega dA, \quad M_\psi = \int_A \bar{\epsilon}_z \cdot \omega_1 dA \\ V_x &= \int_A (\bar{\epsilon}_{xz} l - \bar{\epsilon}_{sz} m) dA, \quad V_y = \int_A (\bar{\epsilon}_{xz} m + \bar{\epsilon}_{sz} l) dA, \quad T = \int_A (\bar{\epsilon}_{xz} \int_s + \bar{\epsilon}_{sz} \int_n) dA, \quad T_s = \int_A \bar{\epsilon}_{sz} \textcircled{A} dA \\ T_w &= T - T_s, \quad T_Q = \int_A (\bar{\epsilon}_{sz} \int_{s1} + \bar{\epsilon}_{xz} \int_{n1}) dA, \quad T_1 = \int_A \bar{\epsilon}_{sz} \textcircled{B}_1 dA, \quad T_0 = T_Q - T_1, \quad T_2 = \int_A \bar{\epsilon}_{sz} \cdot n \dot{\alpha} dA \\ M_0 &= \int_A \bar{\epsilon}_s \cdot s n \dot{\alpha} dA, \quad q_x = \int_A \bar{q}_{xd} dA, \quad q_y = \int_A \bar{q}_{yd} dA, \quad q_z = \int_A \bar{q}_{zd} dA, \quad m_x = \int_A \bar{q}_{zd} \cdot x dA \\ m_y &= \int_A \bar{q}_{zd} \cdot y dA, \quad m_\vartheta = \int_A \bar{q}_{zd} \cdot \omega dA, \quad m_y = \int_A \bar{q}_{zd} \cdot \omega_1 dA, \quad m_x = \int_A (\bar{q}_{yd} \cdot x - \bar{q}_{xd} \cdot y) dA \\ m_a &= \int_A \{ \bar{q}_{yd}(x + l \alpha - m n \dot{\alpha} + 2 m n) + \bar{q}_{xd}(y - m \alpha - l n \dot{\alpha} + 2 l n) \} dA \end{aligned} \quad (27a-x)$$

4. 結語

ひずみ場の仮定に関して他の研究との比較をすると、Vlasovは式(13a)においてランブナンのねじりに相当する q_A/Gx を、またKollbrunnerは曲りせん断の項 $l F_{xc} + m F_{yc}$ と断面変形に関連するせん断ひずみの項 $\int_n F_{pc}$ を無視していることになる。次に軸方向変位 W を検討してみると、たとえば長方形断面を構成する板の厚さが両端間で変化する場合には、式(21)の ω と ω_1 は図4のように差が現われる。Vlasovは ω_1 のみを、またKollbrunnerは ω のみを取つてゐる。

5. 参考文献

- 1) Vlasov, V. Z.: Thin Walled Elastic Beams, Israel Program for Scientific Translation, 1961.
- 2) Kollbrunner, C. F. und N. Hafdin: Dünwandige Stäbe, Springer-Verlag, 1972.
- 3) 西野・倉方ほか：軸力と曲げおよびねじりを受ける薄肉断面部材、土木学会論文報告集、225号、1974.

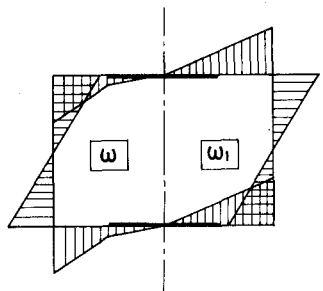


図-4